

図-1 地殻変動の観測点と地震の震央を示した地形陰影図

M6.4, M5.6, M5.5 の星印が、それぞれ 2003 年 7 月 26 日の本震、前震、最大余震の震央を示す。四角、ひし形、三角、および逆三角は、それぞれ本研究で用いた、水準点、GPS 連続観測点、三角点、GPS 機動観測点を表している。6 衍の数字は、GPS 連続観測点(電子基準点)の観測点番号である。図中左上は、研究対象地域周辺のプレート構成を示す図である。NA, PA, PH, EU, AM は、北米、太平洋、フィリピン海、ユーラシア、アムールの各プレートを意味する。

本研究では、これら国土地理院によって得られた地殻変動データを収集し、宮城県北部の地震に伴う地殻変動の全体像を明らかにする。さらに、上記データに加えて、人工衛星による干渉 SAR から明らかになった地殻変動データを用いて、断層モデルの推定を行う。なお、本稿は Earth Planets and Space 誌に掲載された英語論文 (Nishimura et al., 2003) の和訳に一部加筆修正したものである。

2. データ

2. 1 GPS

本研究で用いた GPS データは、3 つの種類に分類することができる。1 番目は、GPS 連続観測点のデータである。この中には、電子基準点、地殻変動観測点(R 点)、および GPS 固定点(K 点)のデータが含まれる。解析に用いた連続観測点数は、全部で 23 である。これらの観測点の GPS 観測データは、長町-利府線断層帯周辺の地殻変動監視(西村・他, 2004)のため、研究センター内で独自に基線解析が行われており、本研究ではこの基線解析結果を用いた。7 月 17 日から 25 日までを地震前、7 月 27 日から 8 月 5 日までを地震後として、それぞれの期間の日平均座標値の平均値をとり、その差を地震時の地殻変動(図-2, 3)とした。図-2 と 3 に示した変位ベクトルは、宮城県白石市にある白石観測点(970797)観測点を

固定した相対的なものである。最大の変位量は、震源域にもっとも近い矢本観測点(960549)で観測されており、水平成分で南東方向に 160mm、上下成分で 90mm の隆起であった。矢本観測点のピラー内に設置された傾斜計には、地震時にピラーが約 0.1 度傾いたことが記録されている。ピラーが電子基準点のコンクリート土台から傾いたとすると、GPS アンテナが設置されているピラー頂部で約 10mm の変位量となる。国土地理院の職員によるトランシットを用いた計測によっても、垂直面からピラー頂部が約 10mm 変位したことが確かめられており、地震に伴う強振動によりピラーが土台から傾斜したと考えられる。ただ、観測された変位量に比べて、傾斜による変位量は小さいので、今後の解析では、GPS で観測された変位量をそのまま用いることにする。

2 番目と 3 番目の GPS データは、ともに地震前後にピラーや標石上で GPS 観測を行ったデータである。しかし、GPS アンテナの設置方法や観測時間に大きな違いがあるので、区別することとした。まず、2 番目のデータは、牡鹿半島周辺の地殻変動観測点で行われた GPS 測量の結果である。牡鹿半島周辺には、宮城県沖のプレート固着状況の監視のため、頂部に GPS アンテナ固定用のボルトが据え付けられた高さ約 3m のピラーが 6ヶ所存在する。ピラーにアンテナが固定できるので、複数回の観測の間で地心誤差はほとんどない。地震前の測量は、2003 年 7 月 1 日と 2 日に行われた。それぞれ 1 日 15 時間以上の観測を行っている。地震後の測量は、8 月 5 日から連続 48 時間以上行われた。震源域の北部にある観測点では、水平成分で北向き 155mm、上下成分で 170mm 隆起の地殻変動が観測されている。図-2 の水平変位ベクトルは、地

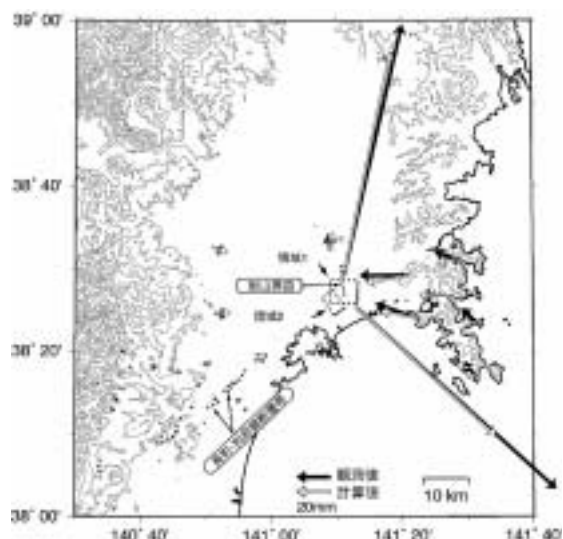


図-2 GPS 連続観測点と機動観測点における地震時地殻変動の観測値と計算値。

点線の矩形領域は、推定された断層の位置を表す。矩形領域の実線部は、矩形断層の浅い辺を示す。